

Посвящается 100-летию открытия дифракции рентгеновских лучей

## ВОЗМОЖНЫЕ ЭНЕРГЕТИЧЕСКИЕ СОСТОЯНИЯ СПЛАВОВ СТЕХИОМЕТРИЧЕСКОГО СОСТАВА *AB* НА ОСНОВЕ ГЦК-, ОЦК- И ПК-РЕШЕТОК

© 2012 г. А. М. Искандаров, С. В. Дмитриев

Институт проблем сверхпластичности металлов РАН, Уфа

E-mail: a.iskandarov@gmail.com

E-mail: dmitriev.sergey.v@gmail.com

Поступила в редакцию 02.03.2011 г.

Предложен простой компьютерный алгоритм описания всех возможных энергетических состояний сплава стехиометрического состава, и его применение иллюстрируется для сплавов состава *AB* на основе ГЦК-, ОЦК- и ПК-решеток. В основе алгоритма лежит метод концентрационных волн, использующий приближение жестких сфер и учитывающий парные взаимодействия атомов в нескольких первых координационных сферах.

### ВВЕДЕНИЕ

Упорядоченные сплавы и интерметаллидные соединения находят применение в технике благодаря ряду уникальных свойств, например они нередко обладают повышенной твердостью, могут демонстрировать повышение предела текучести с ростом температуры, их свойства можно изменять в широких пределах, варьируя состав и степень упорядочения. Имеется большое количество работ по теории упорядочивающихся сплавов, где обсуждаются способы описания ближнего и дальнего порядка, типы и кинетика фазовых переходов порядок–беспорядок, описываются структурные и энергетические характеристики дефектов [1–6]. Значительную помощь в развитии представлений об упорядочивающихся сплавах могут оказать методы компьютерного моделирования [7, 8].

Представляет интерес решение задачи об описании всех возможных энергетических состояний, реализуемых в сплаве заданного стехиометрического состава с заданной кристаллической решеткой в предположении, что энергии межатомных взаимодействий могут принимать любые значения. При этом учитываются парные связи атомов в нескольких первых координационных сферах. В настоящей работе предлагается эффективный компьютерный алгоритм, позволяющий решить поставленную задачу. В основе алгоритма, использующего приближение жестких сфер и предположение о парности межатомных взаимодействий, лежит метод концентрационных волн [1]. В [9, 10] данный алгоритм успешно использовался для решения поставленной задачи для двумерных сплавов стехиометрии *AB* на основе квадратной и гексагональной решеток. В настоящей работе применение алгоритма иллю-

стрируется на примере сплава состава *AB* на основе гранецентрированной кубической (ГЦК), объемно центрированной кубической (ОЦК) и примитивной кубической (ПК) решеток, при учете парных межатомных взаимодействий в первых двух координационных сферах.

### ПОСТАНОВКА ЗАДАЧИ

Заданы:

- стехиометрия сплава (*AB*);
- тип решетки (ГЦК-, ОЦК- и ПК-решетки);
- число координационных сфер взаимодействия атомов (две первые сферы).

Требуется перечислить все возможные энергетические состояния сплава, которые характеризуются средним на один атом числом связей разных типов в каждой из учитываемых координационных сферах.

### ОБЩИЕ СООТНОШЕНИЯ

Соотношения, приводимые в данном разделе, справедливы для бинарного сплава стехиометрического состава  $A_nB_m$ , заданного на решетке любой размерности.

Под  $d$ -мерной решеткой понимается совокупность точек  $d$ -мерного пространства

$$\mathbf{x} = \xi_1 \mathbf{v}_1 + \dots + \xi_d \mathbf{v}_d, \quad (1)$$

где  $\mathbf{v}_1, \dots, \mathbf{v}_d$  – система линейно независимых векторов, а  $\xi_1, \dots, \xi_d$  пробегают все целые числа.

Пусть атомы сплава располагаются в узлах решетки, у которой в  $i$ -й координационной сфере имеется  $N_i$  атомов. Концентрации атомов сортов *A* и *B* суть соответственно

$$c_A = \frac{n}{n+m}, \quad c_B = \frac{m}{n+m}, \quad (2)$$

Через  $p_{KL}^{(i)}$  обозначим вероятность того, что в  $i$ -й координационной сфере атома сорта  $K$  находится атом сорта  $L$ . В бинарном сплаве  $A_nB_m$  существуют следующие связи между вероятностями  $p_{AA}^{(i)}$ ,  $p_{BB}^{(i)}$ ,  $p_{AB}^{(i)}$  и  $p_{BA}^{(i)}$ :

$$\begin{aligned} p_{AA}^{(i)} + p_{AB}^{(i)} &= 1, \quad p_{BA}^{(i)} + p_{BB}^{(i)} = 1, \\ c_A(p_{AA}^{(i)} - c_A) &= c_B(p_{BB}^{(i)} - c_B). \end{aligned} \quad (3)$$

Наличие трех связей означает, что структура сплава однозначно определяется, например, вероятностями  $p_{AA}^{(i)}$ .

Обозначим через  $\varphi_{KL}^{(i)}$  энергию связи пары атомов сортов  $K$  и  $L$ , каждый из которых расположен в  $i$ -й координационной сфере другого.

Потенциальная энергия сплава в расчете на один атом, при учете взаимодействия атомов в  $I$  первых координационных сферах, запишется в виде

$$\begin{aligned} E = \sum_{i=1}^I \frac{N_i}{2} &\left( c_A p_{AA}^{(i)} \varphi_{AA}^{(i)} + c_A p_{AB}^{(i)} \varphi_{AB}^{(i)} + \right. \\ &\left. + c_B p_{BA}^{(i)} \varphi_{AB}^{(i)} + c_B p_{BB}^{(i)} \varphi_{BB}^{(i)} \right). \end{aligned} \quad (4)$$

Энергия полностью разупорядоченного состояния сплава определяется выражением (4) для  $p_{AA}^{(i)} = p_{BA}^{(i)} = c_A$ ,  $p_{BB}^{(i)} = p_{AB}^{(i)} = c_B$ , что дает

$$E_{disord.} = \sum_{i=1}^I \frac{N_i}{2} (c_A^2 \varphi_{AA}^{(i)} + c_B^2 \varphi_{BB}^{(i)} + 2c_A c_B \varphi_{AB}^{(i)}). \quad (5)$$

Выберем энергию  $E_{disord.}$  в качестве точки отсчета и охарактеризуем энергию любого сплава разностью

$$\Delta E = E - E_{disord.} = \frac{1}{2} \sum_{i=1}^I N_i \alpha_i \omega_i, \quad (6)$$

где введены параметры ближнего порядка Каули [11]:

$$\alpha_i = c_A(p_{AA}^{(i)} - c_A), \quad (7)$$

и энергии упорядочения

$$\omega_i = \varphi_{AA}^{(i)} + \varphi_{BB}^{(i)} - 2\varphi_{AB}^{(i)}. \quad (8)$$

При выводе соотношений (6)–(8) воспользовались (3) и тем, что  $c_A + c_B = 1$ .

Как видно из (6), энергия рассматриваемого сплава однозначно определяется координационными числами  $N_i$ , энергиями упорядочения  $\omega_i$ , а также параметрами порядка  $\alpha_i$ .

Легко дать верхнюю оценку диапазона изменения параметров порядка  $\alpha_i$ . Действительно, вероятность может изменяться в диапазоне  $0 \leq p_{AA}^{(i)} \leq 1$ , тогда из (7) получаем

$$-c_A^2 \leq \alpha_i \leq c_A(1 - c_A). \quad (9)$$

Данная оценка не учитывает некоторых ограничений, которые накладываются на вероятности  $p_{AA}^{(i)}$  в различных координационных сферах, и поэтому действительные границы изменения параметров порядка  $\alpha_i$  могут оказаться более узкими. Дать более точных верхних оценок границ изменения параметров порядка нельзя, так как в данной работе определение диапазона их изменения проводится с помощью достаточно универсального компьютерного алгоритма.

Несложно доказать, что в самом общем случае область возможных значений параметров  $\alpha_i$  является выпуклой. Это следует из того, что если рассмотреть две различные структуры сплава с параметрами  $\alpha'_i$  и  $\alpha''_i$ , то структура, составленная из доменов этих структур, будет лежать в пространстве параметров порядка на отрезке, соединяющем точки  $\alpha'_i$  и  $\alpha''_i$ , ближе к той из них, чья объемная доля больше. Фигура, которой принадлежат все точки отрезка, соединяющем любую пару ее точек, по определению – выпуклая.

Необходимо отметить, что одним и тем же значениям  $\alpha_i$  может соответствовать бесконечно много различных структурных состояний, и средняя энергия всех состояний будет одинакова. Иначе говоря, если в пространстве параметров  $\alpha_i$  рассмотреть два пересекающихся отрезка  $(\alpha', \alpha'')$  и  $(\alpha''', \alpha''''')$ , то структура, соответствующая точке пересечения этих отрезков, может быть получена как из доменов структур  $\alpha'$ ,  $\alpha''$ , так и доменов структур  $(\alpha''', \alpha''''')$ . Поэтому, описав область возможных значений параметров  $\alpha_i$ , дадим описание всех возможных энергетических, но неструктурных состояний сплава.

## ОПРЕДЕЛЕНИЕ ГРАНИЦ ИЗМЕНЕНИЯ ПАРАМЕТРОВ ПОРЯДКА ДЛЯ СПЛАВОВ СТЕХИОМЕТРИИ $AB$

В данной работе рассматриваются трехмерные ГЦК-, ОЦК- и ПК-решетки, порождаемые следующими системами векторов:

$$\mathbf{v}_1 = (2, 0, 0), \quad \mathbf{v}_2 = (1, 1, 0), \quad \mathbf{v}_3 = (1, 0, 1), \quad (10)$$

$$\mathbf{v}_1 = (2, 0, 0), \quad \mathbf{v}_2 = (0, 2, 0), \quad \mathbf{v}_3 = (1, 1, 1), \quad (11)$$

$$\mathbf{v}_1 = (1, 0, 0), \quad \mathbf{v}_2 = (0, 1, 0), \quad \mathbf{v}_3 = (0, 0, 1). \quad (12)$$

Координационные числа ГЦК-решетки:  $N_1 = 12$ ,  $N_2 = 6$ , ОЦК-решетки:  $N_1 = 8$ ,  $N_2 = 6$ , ПК-решетки:  $N_1 = 6$ ,  $N_2 = 12$ .

Для определения диапазона изменения параметров порядка  $\alpha_i$  использовалась модификация метода концентрационных волн [1]. Рассматривается расчетная ячейка с периодическими граничными условиями, содержащая  $N_x \times N_y \times N_z$

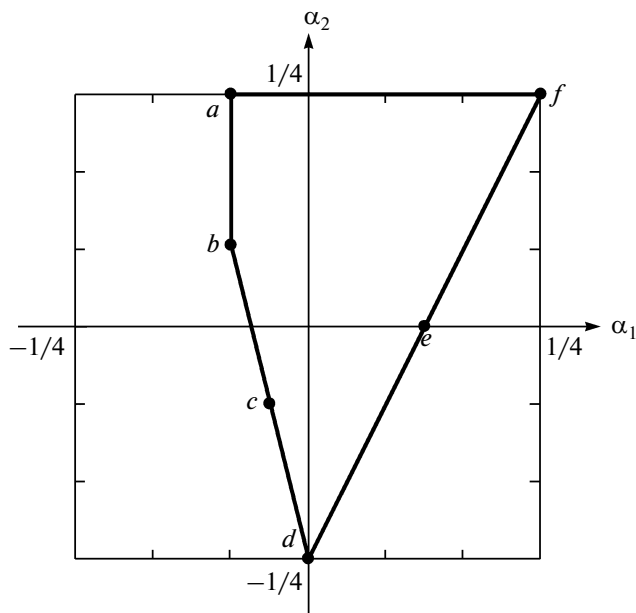


Рис. 1. Область допустимых значений параметров ближнего порядка  $\alpha_1$  и  $\alpha_2$  для сплава  $AB$  на ГЦК-решетке.

атомов в объеме, определенном векторами  $N_x \mathbf{v}_1$ ,  $N_y \mathbf{v}_2$ ,  $N_z \mathbf{v}_3$ . Далее вычисляются значения

$$C_{ijkl} = \sum_{s=1}^3 \sin \left( \frac{2\pi i k_x^{(s)}}{N_x} + \frac{2\pi j k_y^{(s)}}{N_y} + \frac{2\pi l k_z^{(s)}}{N_z} + \varepsilon_s \right), \quad (13)$$

где  $0 \leq i \leq N_x$ ,  $0 \leq j \leq N_y$ ,  $0 \leq l \leq N_z$ . Компоненты векторов  $k^{(1)}$ ,  $k^{(2)}$ ,  $k^{(3)}$  в (13) имеют целочисленные значения  $0 \leq k_x^{(1)}, k_x^{(2)}, k_x^{(3)} \leq N_x$ ,  $0 \leq k_y^{(1)}, k_y^{(2)}, k_y^{(3)} \leq N_y$ ,  $0 \leq k_z^{(1)}, k_z^{(2)}, k_z^{(3)} \leq N_z$ . Сдвиги фаз  $\varepsilon_1$ ,  $\varepsilon_2$ ,  $\varepsilon_3$  введены для того, чтобы избежать обращения чисел  $C_{ijl}$  в ноль.

С помощью чисел  $C_{ijl}$  проводится заполнение узлов расчетной ячейки атомами сортов  $A$  и  $B$  таким образом, что узлу с номером  $(i, j, l)$  приписывается сорт  $A$ , если  $C_{ijl} > 0$ , и сорт  $B$ , если  $C_{ijl} < 0$ . После заполнения ячейки атомами проверяется соблюдение стехиометрии, если она нарушена, то данная структура не рассматривается. Для структур со стехиометрией  $AB$  рассчитываются параметры ближнего порядка  $\alpha_i$  для двух координационных сфер и отображаются точкой на плоскости  $(\alpha_1, \alpha_2)$ . Данная процедура выполняется для всех возможных векторов  $k^{(1)}, k^{(2)}, k^{(3)}$ , что при достаточно больших  $N_x$ ,  $N_y$  и  $N_z$  дает возможность получить представление о диапазонах возможного изменения параметров порядка  $\alpha_i$ .

Описанный алгоритм намного более эффективен, чем метод полного перебора расположения атомов сортов  $A$  и  $B$  по ячейке периодичности,

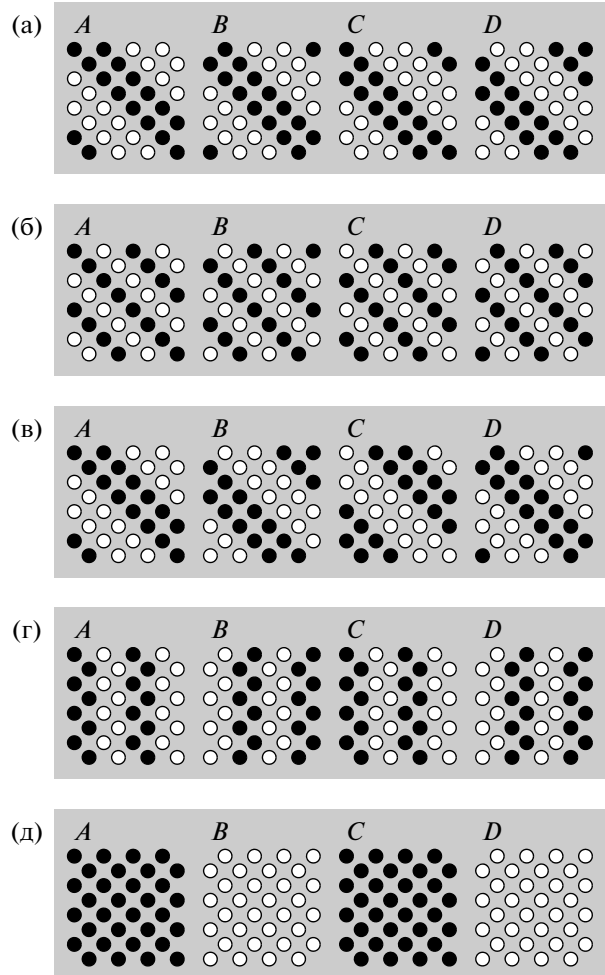


Рис. 2. Примеры структур, реализуемых на ГЦК-решетке в соответствующих точках, отмеченных на рис. 1. Структуры а–д соответствуют точкам  $a$ – $e$ . Приведены фрагменты четырех последовательных плоскостей (001) типа  $A$ ,  $B$ ,  $C$ ,  $D$ , периодическим повторением которых в направлении [001] получаются данные структуры.

поскольку применение последнего ограничено сравнительно малыми размерами ячейки  $N_x$ ,  $N_y$  и  $N_z$ , что не позволяет описать некоторые из возможных структур.

Далее приводятся области изменения параметров  $\alpha_i$  для сплавов состава  $AB$  на основе ГЦК-, ОЦК- и ПК-решеток и дается полное описание энергетических состояний этих сплавов. В расчетах, используя (13), принимали  $N_x = N_y = N_z = 20$  и  $\varepsilon_1 = \varepsilon_2 = \varepsilon_3 = 10^{-3}$ .

*Сплав AB на ГЦК-решетке.* Область допустимых значений параметров ближнего порядка  $\alpha_1$  и  $\alpha_2$  приведена на рис. 1, а на рис. 2 показаны типы сплавов, соответствующие точкам  $a$ – $e$  данной области. Структура, представленная на рис. 2д, представляет собой сверхструктуру  $L1_0$ . Структу-

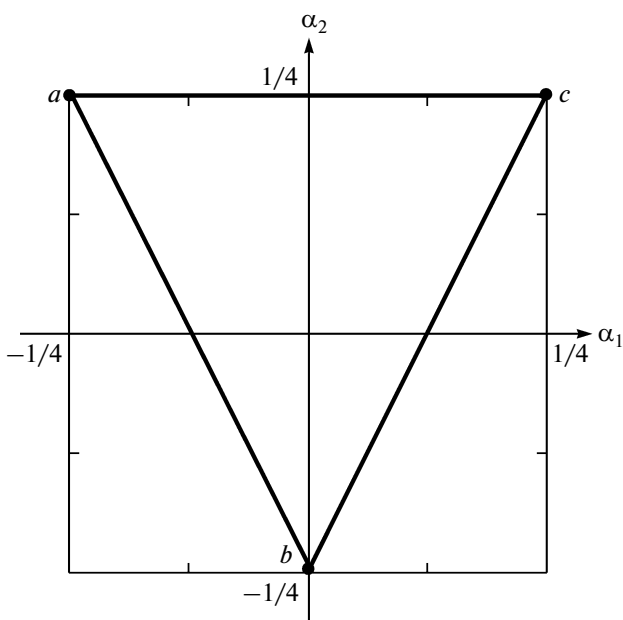


Рис. 3. Область допустимых значений параметров ближнего порядка  $\alpha_1$  и  $\alpha_2$  для сплава  $AB$  на ОЦК-решетке.

точка  $f$  соответствует спинодальный распад сплава на чистые компоненты.

**Сплав  $AB$  на ОЦК-решетке.** Область допустимых значений параметров ближнего порядка  $\alpha_1$  и  $\alpha_2$  приведена на рис. 3, а на рис. 4 показаны типы сплавов, соответствующих вершинам  $a$  и  $b$  данной области. На рис. 4б представлена сверхструктура  $B2$ . Вершине  $c$  соответствует спинодальный распад сплава на чистые компоненты.

**Сплав  $AB$  на ПК-решетке.** Область допустимых значений параметров ближнего порядка  $\alpha_1$  и  $\alpha_2$  приведена на рис. 5, а на рис. 6 показаны типы сплавов, соответствующие вершинам  $a-f$  данной

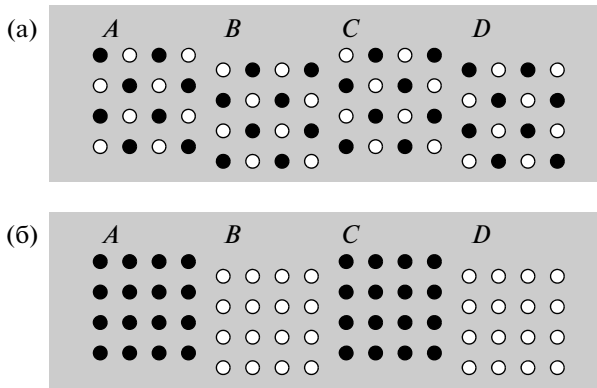


Рис. 4. Примеры структур, реализуемых на ОЦК-решетке в соответствующих точках, отмеченных на рис. 3. Структуры  $a$  и  $b$  соответствуют точкам  $a$  и  $b$ . Структуры образуются периодическим повторением плоскостей (100) типа  $A, B, C, D$  в направлении [001].

области. Вершине  $g$  соответствует спинодальный распад сплава на чистые компоненты.

## ЗАКЛЮЧЕНИЕ

Представленный в работе компьютерный алгоритм определения области возможных значений параметров ближнего порядка сплава стехиометрического состава проиллюстрирован на примере сплава состава  $AB$  на трех типах решетки кубической симметрии. Алгоритм легко адаптируется на случай бинарных сплавов другой стехиометрии путем размещения атомов сорта  $A$  в узлах  $C_{ijl} \geq \delta$  и сорта  $B - C_{ijl} < \delta$ , где  $C_{ijl}$  определяются (13), а величина  $\delta$  выбирается из условия получения желаемой стехиометрии.

Результаты для ПК-решетки не имеют практического значения, поскольку упорядоченные сплавы на ее основе неизвестны. С другой стороны, представленные на рис. 1–4 результаты для ГЦК- и ОЦК-решеток могут представлять интерес для практики, поскольку они дают наглядное представление о возможных типах структур и о влиянии вторых соседей на формирование этих структур. Например, можно сделать вывод, что сверхструктура  $L1_0$ , соответствующая точке  $e$  на рис. 1, может реализоваться в сплавах, где энергия упорядочения для вторых соседей  $\omega_2$  невелика по сравнению с  $\omega_1$ , так как для этой структуры параметр порядка во второй сфере  $\alpha_2 = 0$ . Однако для того чтобы могла реализоваться сверхструктура  $B2$ , соответствующая точке  $b$  на рис. 3, энергия упорядочения на второй сфере должна быть заметной. Если для конкретных компонент бинар-

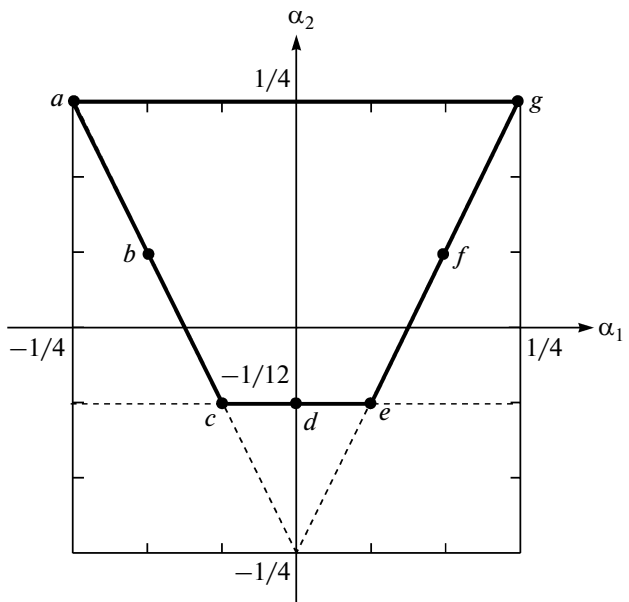
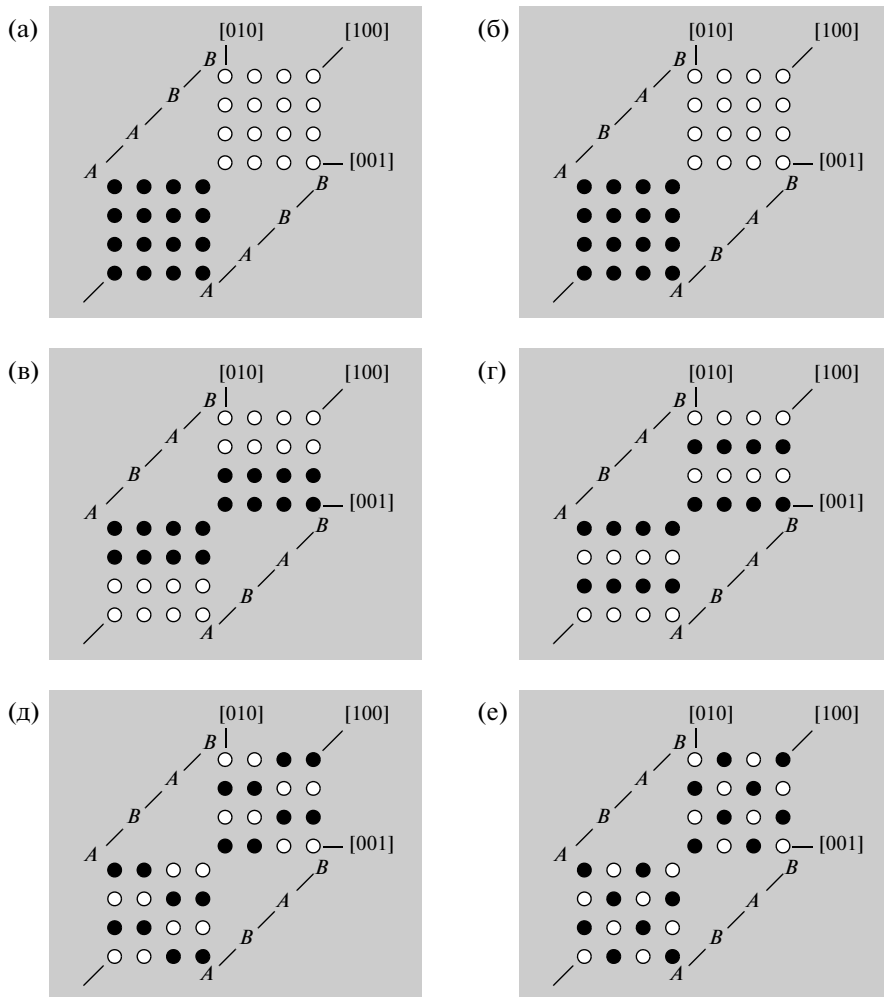


Рис. 5. Область допустимых значений параметров ближнего порядка  $\alpha_1$  и  $\alpha_2$  для сплава  $AB$  на ПК-решетке.



**Рис. 6.** Примеры структур, реализуемых на ПК-решетке. Показано чередование плоскостей (001) для соответствующих точек в пространстве параметров порядка, отмеченных на рис. 5. Структуры а–е соответствуют точкам *a*–*f*.

ного сплава известны энергии упорядочения  $\omega_1$  и  $\omega_2$ , то легко определить наиболее выгодный из возможных типов структур, соответствующий наименьшей энергии  $\Delta E$ , определяемой (6). Этот тип структуры будет располагаться на границе области возможных изменений параметров  $\alpha_i$  в направлении антиградиента изменения  $E$  как функции  $\alpha_i$ .

Таким образом, результаты данной работы могут быть использованы для установления зависимости между энергиями парных межатомных взаимодействий и структурой сплавов.

Работа выполнена при финансовой поддержке Российского фонда фундаментальных исследований (грант № 09-08-00695-а).

#### СПИСОК ЛИТЕРАТУРЫ

- Хачатурян А.Г. Теория фазовых превращений и структура твердых растворов. М.: Наука, 1974. 384 с.
- Смирнов А.А. Молекулярно-кинетическая теория металлов. М.: Наука, 1966. 488 с.
- Старенченко С.В., Козлов Э.В., Старенченко В.А. Закономерности термического фазового перехода порядок–беспорядок в сплавах со сверхструктурами  $Ll_2$ ,  $Ll_2(M)$ ,  $Ll_2(MM)$ ,  $Dl_a$ . Томск: Изд-во науч.-техн. лит., 2007. 268 с.
- Матвеева Н.Н., Козлов Э.В. Упорядоченные фазы в металлических системах. М.: Наука, 1989. 247 с.
- Гринберг Б.А., Сюткина В.И. Новые методы упрочнения упорядоченных сплавов. М.: Металлургия, 1985. 173 с.
- Дмитриев С.В., Старостенков М.Д., Жданов А.Н. Основы кристаллогеометрического анализа дефектов в металлах и сплавах. Барнаул: Изд-во АлтГТУ, 1995. 256 с.
- Дмитриев С.В., Козлов Э.В., Ломских Н.В., Старостенков М.Д. // Изв. вузов. Физика. 1997. № 3. С. 73.
- Андрюхова О.В., Козлов Э.В., Дмитриев С.В., Старостенков М.Д. // ФТТ. 1997. Т. 39. № 8. С. 1456.
- Искандаров А.М., Дмитриев С.В. // Фундаментальные проблемы современного материаловедения. 2010. № 3. С. 12.
- Кистанов А.А., Искандаров А.М., Дмитриев С.В. // Фундаментальные проблемы современного материаловедения. 2011. № 1. С. 46.
- Cowley J.M. // Phys. Rev. 1960. V. 120. P. 1648.